

# معادله جدید حالت براساس تئوری اغتشاشی

محسن عدالت

دانشیار دانشکده فنی دانشگاه تهران

محمد جعفر عبدالخدائی

فوق لیسانس دانشکده مهندسی شیمی دانشگاه صنعتی شریف

چکیده

معادله حالت بر مبنای ضربیت تراکم پذیری ملکولهای کروی سخت (hard sphere) با استفاده از رابطه کارناهان و استرلینک (Carnahan and sterling) ارائه شده است. سپس براساس شرایطی که یک معادله حالت باید دارا باشد عبارت جاذبه یا ضربیت تراکم پذیری نایدیال معادله حالت تعیین شده و با استفاده از ضربیت دوم و پیریال و ضربیت عدم تقاضان، شکل کلی معادله کامل شده است. در این معادله شرط ثابت نبودن ضربیت تراکم پذیری در نقطه بحرانی که در دیگر معادلات حالت مشاهده نمی شود برقرار است. نتایج حاصل از این معادله در مقایسه با معادله های دیگر حالت، نظری پینک راینسون (Peng - Rabinson) سوآو - ردلیچ و کوانگ (Soave - Redlich - Kowang) و ردلیچ کوانگ (Redlich - Kowang) رضایت بخش تر است.

تاریخچه  
Desantis (1976) نیز با توجه به مدل Clasius برای کره سخت و معادله حالت Soave - Redlich - Kwong (1972) ارائه کرده است. Nagata - Yasuda (1977) با به کار بردن معادله ردلیچ کوانگ و مدل کارناهان استرلینک برای کره سخت کار خود را بر روی بخار اشباع انجام داده اند. Nakamura - Breedveld - Prausnitz (1976) از آن مدلی پیشنهاد کرده اند و برای چهارده ماده پارامترهای آن را به دست آورده اند. Ishiwaka - Chung - Lu (1976) نیز با در نظر گرفتن مدل بسیار ساده ای برای کره سخت معادله جدیدی عرضه داشته اند.

دسته بندی معادله های حالت  
بررسی معادله های حالت، صور مختلفی دارد که نوع متداول آن بررسی تاریخی و روال تکاملی معادله ها و نحوه اصلاح شدن روابط قبلی است. نوع دیگر بررسی از دیدگاه علمی و طبقه بندی شده معادله هاست که به دلیل متنوع بودن انواع معادله ها و سری نبودن آنها این نوع دسته بندی ارائه می شود. معادله های حالت را می توان به سه گروه نظری، نیمه تجربی و تجربی تقسیم کرد. معادله های حالت نظری معادله هایی هستند که مبنای نظری دارند و ثابت های آنها از طریق تجزیه و تحلیل نیروهای بین مولکولی به دست می آید. معادله های حالت

نظریه اغتشاشی را (1954) Zwanzig پایه گذاری کرده ولی عملی (1967) Barker - Henderson به آن وجود واقعی داده و دنبال آن معادله های حالت متعددی ارائه شده است. به علت اینکه بررسی با دیدگاه آماری انجام گرفته طبیعتاً معادله های حالت ارائه شده نیز در همین قالب اند و با توجه به وجود پارامترهای مولکولی و آماری جنبه کاربردی نسبتاً ضعیفی دارند. سپس Carnahan & Starling (1972) شاخه جدیدی در تئوری اغتشاشی ایجاد کرده اند که در آن به دیدگاه کلاسیک ترمودینامیک توجه شده است. آنها با در نظر گرفتن فشار کل به صورت مجموع نیروهای ناشی از انرژی پتانسیل جاذبه و دافعه، معادله هایی برای نیروی دافعه در دورابطه (1973) Vander Waals و Redlich - Kwong با توجه به ترمودینامیک آماری و در نظر گرفتن حالت کره سخت ارائه کرده اند. Beret & Prausnitz (1975) معادله ای سه پارامتری برای ساختمانهای مولکولی پیشنهاد کرده اند که از کاربرد نسبتاً خوبی برخوردار است. این کار را Donohue (1977) & Prausnitz بدین صورت تکمیل کرده اند که پارامترهای معادله برای موادی است که عمدها تشکیل دهنده گازهای طبیعی اند و برای سیستمهای پیچیده با کامپیوتر بهینه شده اند.

- الف - استفاده از نظریه حالت‌های متناظر  
 ب - استفاده از مشارکت گروهی  
 ج - استفاده از واکنش شیمیایی  
 د - استفاده از دیگر معادله‌های حالت نیمه تجربی
- اعمال متداشتاشی نیز در معادله‌های حالت نیمه تجربی می‌تواند مستقیماً در فشار و یا ضریب تراکم پذیری صورت گیرد.

معادله‌های حالت تجربی دو نوع عمدۀ دارند: دسته اول معادله‌هایی هستند که با استفاده از آنها می‌توان با کمک روابط ریاضی و معادله‌های ترمودینامیکی به تمامی خواص غیرافزودنی دست یافت و عنوان شمول خاصیتی (Generalized) دارند و دو حالت برایشان متصور است یا اینکه، در این نوع معادله‌ها، یک قالب کلی برای مواد مختلف در نظر گرفته می‌شود و فقط پارامترهایی نظیر خواص بحرانی و یا ضریب عدم تقارن در تعیین ضرایب دخالت می‌کند (همه شمول ماده‌ای) و دو گونه عمدۀ حالات متناظر و مشارکت گروهی برایشان پیش می‌آید و یا اینکه در خود معادله ثوابتی وجود دارد که در جداولی ارائه می‌شود (غیر همه شمول ماده‌ای). دسته دوم معادله‌هایی هستند که با استفاده از آنها فقط می‌توان حجم مولی را پیش بینی کرد و عنوان غیر همه شمول خاصیتی دارند.

ضریب تراکم پذیری کره سخت  $Z_{hs}$  از حل دقیق روابط براساس نظریه اغتشاشی با در نظر گرفتن فرم انرژی پتانسیل کره سخت معادله زیر برای ضریب تراکم پذیری به دست می‌آید.

$$Z_{hs} = 1 + 4y + 10y^2 + 18.365y^3 + 28.24y^4 + 39.5y^5 + 56.5y^6 + \dots \quad (1)$$

$$y = b / 4V \quad (2)$$

که در عین سادگی نسبی، انطباق بالاتری با حل دقیق دارد به صورت زیر است:

نیمه تجربی معادله‌هایی هستند که اگر چه مبنای نظری دارند ولی ثابت‌های آنها از طریق تجربی تعیین شده و سپس بر حسب خواص مواد به صورت یک رشته روابط عمومی درآمده‌اند و معادله‌های حالت تجربی به معادله‌هایی گفته می‌شود که اساساً بر مبنای تجربه به دست آمده و پایه نظری ندارند. معادله‌های حالت نظری را می‌توان به دو دسته تقسیم کرد:

- ۱ - معادله‌های حالت ویریال
- ۲ - معادله‌های حالت اغتشاشی

در این دسته معادله‌های ویریال ضرایب معادله بر مبنای تجزیه و تحلیل نیروهای بین مولکولی به دست آمده‌اند و پایه تجربی ندارند.

به کارگیری نظریه اغتشاشی در معادله‌های حالت بر پایه‌ای از متادریاضی تلفیق شده و با روابط ترمودینامیک آماری استوار است. بر طبق این نظریه خواص ترمودینامیکی سیستم با کمک تابع افزای می‌تواند به دست آید. این تابع با بکارگیری انتگرال پیگربندی و تابع پراکندگی محوری قابل تعریف است. معادله‌های حالت نیمه تجربی به چهار گروه عمدۀ تقسیم می‌شوند.

- ۱ - معادله‌های حالت ویریال
- ۲ - معادله‌های حالت درجه سه
- ۳ - معادله‌های حالت اغتشاشی
- ۴ - سایر موارد. ضرایب معادله ویریال با استفاده از برآش منحنی داده‌های تجربی به دست می‌آید و به چهار طریق عمدۀ قابل محاسبه است.

چنانکه دیده می‌شود این رابطه به صورت یک سری نامحدود است برای بیان آن به صورت یک رابطه متناهی، روابط گوناگونی ارائه شده که از جمله می‌توان رابطه Ishiwaka - Chung - Lu Gugenheim واندروالس، Percus - Yevick و Percus - Yevick را نام برد. رابطه کارناها - استرلینگ

$$Z_{hs} = \frac{1 + y + y^2 - y^3}{(1 - y)^3} \quad (3)$$

و چنین بسط می‌باید

$$Z_{hs} = 1 + 4y + 10y^2 + 18y^3 + 28y^4 + 40y^5 + 54y^6 + \dots \quad (4)$$

$$b = 0.332577477 V_c \quad (6)$$

هرگاه مقدار  $b$  را در رابطه ضریب تراکم پذیری در نقطه بحرانی قرار دهیم به روابط زیر می‌رسیم:

$$Z_c = 1.16399547 + 0.75042541 \frac{Bc}{V_c} \quad (7)$$

$$Z_c = 0.58199787 \{ 1 + (1 + 2.21546422 \frac{BcPc}{RT_c})^{1/2} \} \quad (8)$$

معادله (5) علاوه بر اینکه مزیت انحصاری ضریب تراکم پذیری نایکسان را در نقطه بحرانی برای مواد مختلف دارد شرایط زیر نیز در آن صادق است.

$$1) P \frac{\partial}{\partial V} PV = RT \quad (9)$$

$$2) \frac{\partial P}{\partial V} \Big|_{T=T_c} = 0 \quad , \quad \frac{\partial^2 P}{\partial V^2} \Big|_{T=T_c} = 0 \quad (10)$$

$$3) \lim (Z - 1) V = B \quad (11)$$

که از میان اینها شرایط سوم از شرط‌های انحصاری است. فرم چند جمله‌ای معادله (5) به صورت زیر است.

$$\frac{64P}{RT} V^5 + \left( \frac{16Pb}{RT} - 64 \right) V^6 + \left( \frac{-36Pb^2}{RT} - 16 + 64B \right) V^3 + \left( \frac{11Pb^3}{RT + 48bB - 68b^2} \right) V^2 + \left( \frac{-b^4P}{RT} + 9b^3 - 12 \right) Bb^2 V + Bb^3 = 0 \quad (12)$$

, Abbott (1973), Mc Glashan - Potteir (1962) و ضریب دوم ویریال Tsonopoulos آورده با ضریب تراکم پذیری تجربی مقایسه کرده‌ایم و نهایتاً مدل Abbott را به دلیل سادگی آن و در عین حال کمتر بودن متوسط قدر مطلق خطأ و اریانس برگزیده‌ایم.

### ارائه معادله حالت

با در نظر گرفتن مبانی نظریه اعتنشاشی در ترمودینامیک کلاسیک معادله حالتی به صورت زیر پیشنهاد می‌شود.

$$Z = Z_{hs} + \frac{B \cdot b}{V + b} \quad (5)$$

$B$ ، ضریب دوم ویریال و  $b$  از پارامترهای معادله حالت است که با استفاده از شرایط اعمالی بر آن به دست خواهد آمد، فرم  $Z_{hs}$  نیز مدل ارائه شده در معادله (3) انتخاب می‌شود. برای به دست آوردن  $b$  از دو شرط صفر بودن مشتق اول و دوم فشار نسبت به حجم در دمای ثابت در نقطه بحرانی استفاده می‌کنیم. با اعمال این شرایط و در نظر گرفتن  $b = nVc$  به رابطه‌ای از درجه پنجم بر حسب  $n$  دست خواهیم یافت که پنج ریشه دارد و تنها ریشه بین صفر تا یک آن دارای توجیه منطقی است زیرا ریشه بزرگتر از یک، مستلزم منفی بودن نیروی دافعه است و ریشه منفی، با ارتباط منطقی بین گازهای ایدئال و گاز حقیقی تناقض خواهد داشت. طبیعی است که ریشه‌های موهومی قابل بررسی نخواهند بود بنابراین :

از پارامترهای اصلی معادله (5) ضریب دوم ویریال ( $B$ ) می‌باشد این ضریب علاوه بر اینکه برایش روابط متعددی پیشنهاد شده به صورت تجربی نیز قابل دسترسی است. جهت انتخاب مدلی برای  $B$  در فاز گاز، مقدار ضریب تراکم پذیری پروپیان را برای صد و ده نقطه به ازای مقادیر Pitzer - curle (1976) از روابط

شده است. حالت بدون بعد آن نیز به دو صورت استفاده از دما و فشار بحرانی و یا حجم بحرانی خواهد بود. ذکر این نکته ضروری است که حصول به رابطه‌ای واحد برای شبه ضربی دوم ویریال در صورتی امکان پذیر است که منحنیهای این ضربی بر حسب ضربی عدم تقارن به ازای دماهای نقصانی گوناگون، دارای یک شکل کلی باشند. نهایتاً پس از طی مراحل بالا برای حالت بدون بعد شبه ضربی دوم ویریال بر حسب حجم بحرانی می‌توان به رابطه زیر دست یافت.

$$\frac{B}{Vc} = Bo = \omega B_1 \quad (16)$$

$$Bo = 1.0010411 T_r^2 - 0.76548921 T_r - 1.4041924 \quad (17)$$

$$B_1 = -0.431511822 T_r^2 + 1.1993128 T_r - 0.84562418 \quad (18)$$

و اگر شبه ضربی دوم ویریال بدون بعد بر حسب دما و فشار بحرانی در نظر باشد رابطه زیر به دست خواهد آمد.

$$\frac{BP_c}{RT_c} = Bo + \omega B_1 \quad (19)$$

$$Bo = 0.28539583 T_r^2 - 0.21628341 T_r + 0.4034711 \quad (20)$$

$$B_1 = 0.1861900 T_r^2 + 0.36335068 T_r - 0.10625864 \quad (21)$$

برای دو حالت فوق این دو رابطه به صورت خطی در نظر گرفته شده‌اند. برای حالت با بعد شبه ضربی دوم ویریال، معادله به دو گونه تفکیک می‌شود. یک نوع آن مربوط به موادی با ضربی عدم تقارن کوچکتر از ۱۵ درصد و نوع دیگر که خود دارای دو حالت درجه یک و دو بوده و برای موادی با ضربی عدم تقارن بزرگتر از ۱۵ درصد می‌باشد که همگی، بعد سانتیمتر مکعب بر گرم مول دارند.

$$1) \omega < 0.15 \quad B = B_0 + \omega B_1 + \omega^2 B_2 \quad (22)$$

فرم معادله B به صورت زیر است.

$$\frac{BP_c}{RT_c} = Bo + \omega B_1 \quad (13)$$

$$Bo = 0.083 - 0.422/T_r^{1.6} \quad (14)$$

$$B_1 = 0.133 - 0.172/T_r^{4.2} \quad (15)$$

برای فاز مایع به دلیل اینکه ضربی دوم ویریال، مفهوم فیزیکی ندارد شبه ضربی دوم ویریال virial second مشخص می‌شود که این ضربی ارتباط خطی است ویریال، با مرور به فرم کلی رابطه ضربی دوم ویریال، چند جمله‌ای از درجه دوم با ضربی عدم تقارن ( $\omega$ ) دارد و ضرایب آن تابعی از دما نقصانی است. برای به دست آوردن ضرایب می‌بایست به ازای دماهای نقصانی یکسان و «های مختلف که نشانگر مواد گوناگون است B را به دست آورد. سپس با عمل برازش منحنی، ضرایب را به ازای همان دمای نقصانی پیدا کرد و با تکرار این عمل و در نظر گرفتن دماهای نقصانی مختلف، مقادیر هر کدام از ضرایب را به ازای همان دمای نقصانی به دست آورد. نهایتاً با داشتن هر کدام از این مقادیر بر حسب دمای نقصانی، دست یافتن به رابطه‌ای برای آنها امکان پذیر است. تکرار مراحل فوق برای رابطه‌ای جهت شبه ضربی دوم ویریال به دو صورت با بعد و بدون بعد متصور است. در صورت در نظر گرفتن حالت با بعد، طبیعی است که هر کدام از ثابت‌های ضرایب به ازای همان بعد در نظر گرفته

$$(20)$$

ذکر این نکته ضروری است که در هر دو حالت بدون بعد، هر دو صورت درجه یک و درجه دو این ضربی بر حسب ضربی عدم تقارن در نظر گرفته شده است و با عنایت به اهمیت ساده‌تر بودن رابطه خطی و حصول نتایج بهتری در مقایسه با حالت چند جمله‌ای درجه‌های در بعضی نقاط و اختلاف نه چندان زیاد آن در دیگر نقاط و با توجه به مقایسه مقدار ماکزیمم انحراف بر حسب دمای نقصانی

$$(22)$$

$$B_0 = 97.954712 T_r^2 - 70.524612 T_r - 141.20026 \quad (23)$$

$$B_1 = 613016357 T_r^2 - 115.99202 T_r + 437.29178 \quad (24)$$

$$B_2 = -3335.3626 T_r^{-1} + 888.04348 \quad (25)$$

$$\text{II - A) } \omega > 0.15 \quad B = B_0 + \omega B_1 \quad (27)$$

$$B_0 = 366.34882 T_r^3 - 874.53032 T_r^2 + 674.01724 T_r - 179.87555 \quad (27)$$

$$B_1 = 935.69799 T_r^2 - 166.85418 T_r - 2232.911 \quad (28)$$

$$\text{II - B) } \omega > 0.15 \quad B = B_0 + \omega B_1 + \omega B_2 \quad (29)$$

$$B_0 = 67.75332 T_r^2 - 48.367431 T_r - 108.96739 \quad (30)$$

$$B_1 = 4723.2622 T_r^3 - 11052.928 T_r^2 + 9179.1787 T_r - 3621.3203 \quad (31)$$

$$B_2 = -6454.389 T_r^3 - 16828.355 T_r^2 - 13112.435 T_r + 1453.823 \quad (32)$$

حالت بدون بعد با کمک حجم بحرانی برگزیده می شود.

نتیجتاً از مجموع سیصد و بیست و هشت نقطه بررسی شده برای سیزده ماده، متوسط قدر مطلق خطای فاز گاز به ازای معادله های حالت PR ، SRK و معادله (5) به ترتیب برابر  $\frac{3}{584}$  درصد و  $\frac{2}{84}$  درصد و  $\frac{2}{225}$  درصد و برای فاز مایع نیز به ترتیب برابر  $\frac{14}{729}$  درصد،  $\frac{5}{483}$  درصد و  $\frac{1}{561}$  درصد است . این ارقام میزان دقت معادله را نشان می دهد.

در مرحله بعد برای بررسی کارآیی معادله (5) در پیش یابنی خواص ترمودینامیکی، ضریب ژول تامسون را برگزیده و مقدار محاسباتی آن را برای پنج آلکان اول به دست آورده با مقادیر تجربی و محاسبه شده از معادله های حالت RK (ردلیچ - کوانگ) SRK و PR مقایسه کرده مقادیر خطای به دست آمده در جدول (2) نشان داده شده است. شکلها ۳ و ۴ درصد خطای محاسبه ضریب ژول تامسون را نشان می دهند. نتیجتاً مقدار متوسط قدر مطلق برای معادله حالت RK، SRK و PR به دست آورده حالت  $\frac{8}{919}$  درصد، برای معادله حالت  $\frac{14}{505}$  درصد، برای معادلات حالت ارائه شده  $\frac{6}{490}$  درصد است و همان گونه که مشاهده می شود مقدار خطای معادله (5) از دیگر معادله ها کمتر است.

با توجه به مزایای ثابت نبودن ضریب تراکم پذیری در نقطه بحرانی مواد مختلف در معادله های (7) و

### بحث و نتیجه گیری

جهت نشان دادن موقعيت معادله جدید، حجم مولی چندین ماده از الکانها و الکنهای پیش یابنی شده را با دو معادله مورد استفاده متداول (P.R and SRK) مقایسه می کنیم. بدین منظور از آلکانهای  $C_1$  تا  $C_{10}$  و از الکنهای  $C_2$  تا  $C_4$  را در محدوده اشباع برای دو فاز مایع و گاز مورد بررسی قرار می دهیم و رابطه حجم از درجه پنجم را با استفاده از متد Bairstow حل می کنیم. بزرگترین ریشه را به حجم فاز گاز اختصاص می دهیم و سپس با مقایسه با مقادیر تجربی، درصد خطای را از رابطه زیر به دست می آوریم.

$$\frac{100 \times \text{مقدار تجربی} - \text{مقدار محاسبه شده}}{\text{مقدار تجربی}} = \text{درصد خطای}$$

برای مقایسه نتایج معادله (5) با دیگر معادله های متداول، مقدار حجم را از معادله های سوآو - ردلیچ - کوانگ (SRK) و Peng Robinson (PR) به دست می آوریم و مقدار خطای را محاسبه می کنیم. برای فاز مایع نیز مقدار حجم مولی را به ازای صور مختلف شبیه ضریب دوم و پریال و نیز دو معادله SRK و PR به دست می آوریم. این مقادیر در جدول (1) نشان داده شده اند. شکلها ۱ و ۲ بیانگر مقایسه درصد خطای ناشی از حالتهای مختلف با معادله حالت (5) است. نهایتاً از بین حالتهای مختلف شبیه ضریب دوم و پریال فاز مایع با توجه به نتایج مشخص شده،

که معادله‌های حالت بر مبنای نظریه اغتشاشی در ترمودینامیک کلاسیک نیز می‌تواند به عنوان دسته‌ای از کاربردی‌ترین و موفق‌ترین معادله‌های حالت ارائه شده به شمار آید.

(۸) و نیز صادق بودن شرط اضافی در مورد ضریب دوم ویریال در معادله (۱۱)، و همچنین دارا بودن ثوابت کمتر در معادله (۵) و با مرور به مقایسه متوسط خطاب برای مواد گوناگون در داده‌های حجم و فشار و دما برای دو فاز مایع و گاز و ضریب ژول تامسون می‌توان به این نتیجه دست یافت

MATERIAL	1storder		2nd order		B/V <sub>c</sub>		BP <sub>c</sub> /RT <sub>c</sub>		SRK		PR		N <sub>tot</sub>	
	E	N	E	N	E	N	E	N	E	N	E	N	E	N
MANTHANE	1.168	0	1.168	0	1.516	0	6.191	5	5.131	1	7.738	1	30	
ETHANE	8.365	9	8.365	9	1.746	0	2.457	0	12.529	2	7.317	2	28	
PROPANE	1.205	0	1.674	0	1.602	1	5.761	4	13.695	1	5.707	1	32	
N-BUTANE	4.690	3	12.694	11	1.435	0	8.108	2	15.565	3	3.833	2	23	
N-PENTANE	7.535	1	4.696	5	1.255	0	1.633	0	14.762	4	4.421	1	31	
N-HEXANE	11.212	1	4.670	1	1.216	0	2.261	1	19.156	5	3.305	6	32	
N-HEPTANE	5.549	1	2.448	0	0.799	1	1.188	1	16.975	1	3.498	1	17	
N-OCTANE	3.029	0	4.418	1	2.421	1	3.591	2	19.432	6	5.256	4	16	
N-NONANE	1.645	3	5.543	2	1.302	2	2.113	3	18.694	8	5.374	5	16	
N-DECANE	1.565	3	8.487	4	1.852	0	1.321	4	23.051	8	6.387	9	19	
ETHYLENE	6.702	1	6.702	1	1.1.916	0	3.939	0	7.84	1	8.127	0	22	
PROPYLENE	1.695	1	1.695	1	1.853	0	5.356	0	10.939	1	4.626	1	27	
1-BUTENE	3.611	1	4.189	3	1.373	0	7.167	4	12.499	2	5.090	1	27	
AVE/TOT	4.469	24	5.132	38	1.561	5	3.923	26	14.729	43	5.483	34	326	

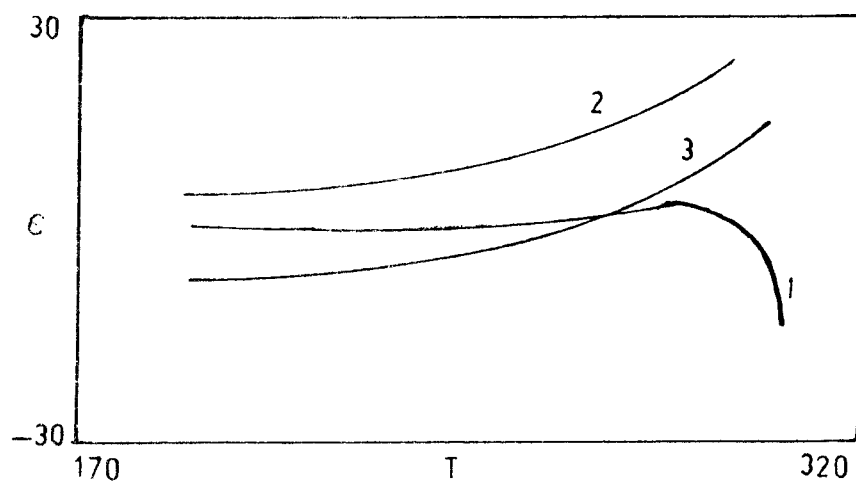
## LIQUID PHASE

E: AVERAGE ABSOLUTE ERROR%

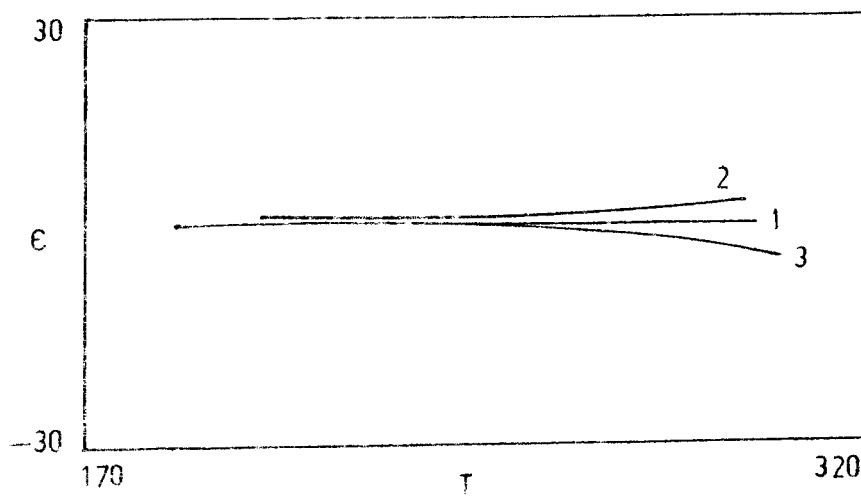
N: NUMBER OF POINTS DIDNOT CONVERGED

N<sub>tot</sub>: NUMBER OF TOTAL POINTS

1- جدول 1 مقادیر متوسط خطای محاسبه حجم مولی مواد مختلف به دست آمده از معادله های حالت ارائه شده SRK و PR، برای فاز مایع



ا - الـف - درصد خطای حجم مولی فاز مایع به ازای معادله‌های حالت ارائه شده SRK و PR برای اتان



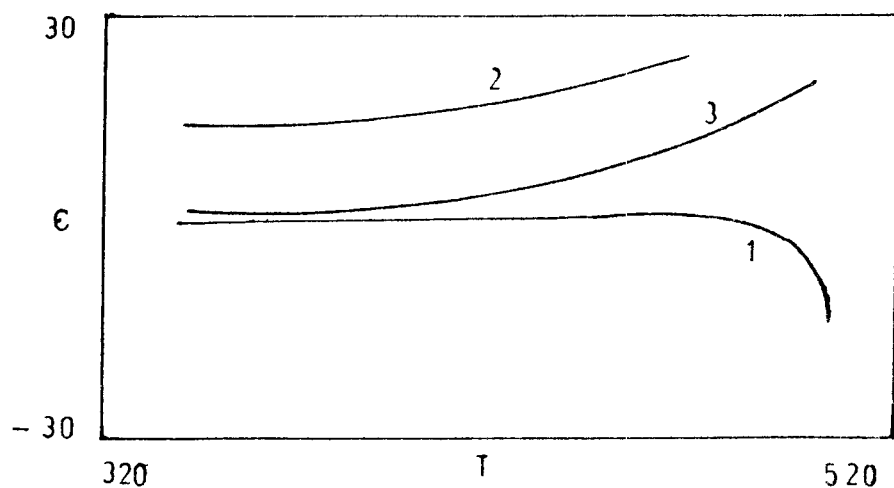
ب - ب - درصد خطای حجم مولی فاز گاز به ازای معادله‌های حالت ارائه شده SRK و PR برای اتان

ETHANE

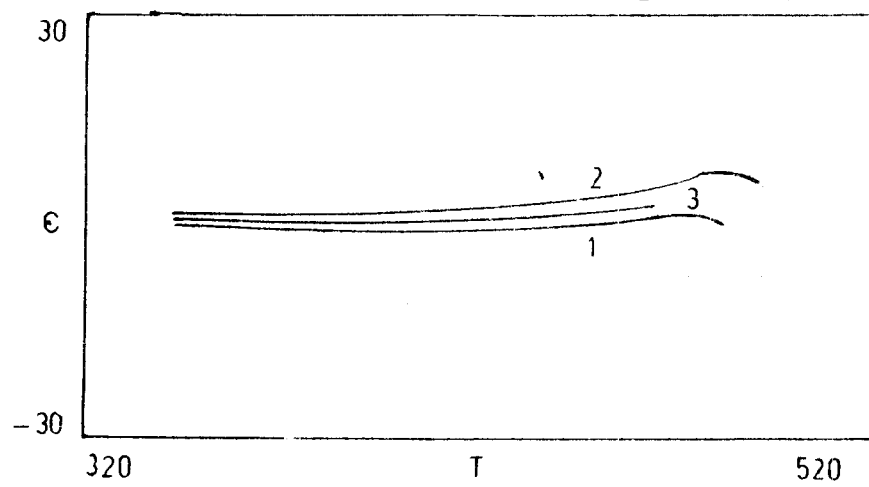
1 : NEW E.O.S.

2 : SRK

3 : PR



۲-الف- درصد خطای حجم مولی فاز مایع به ازای معادله های حالت ارائه شده SRK و PR برای هگزان

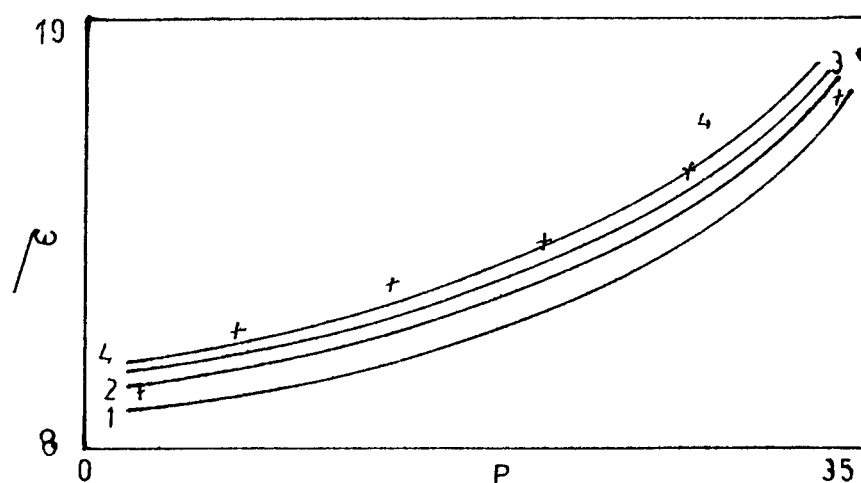


۲-ب- درصد خطای حجم مولی فاز گاز به ازای معادله های حالت ارائه شده SRK و PR برای هگزان

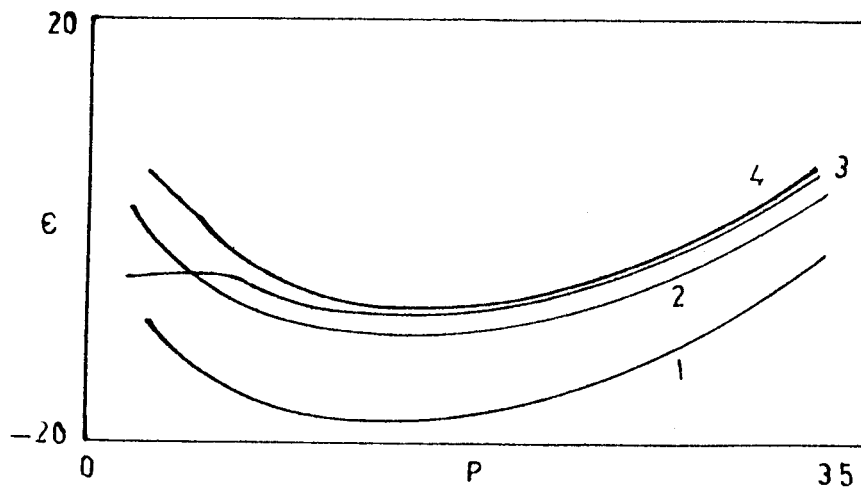
1 : Equation (5)

2 : SRK

3 : PR



۳-الف - ضریب ژول تامسون به ازای معادله‌های حالت ارائه شده، Rk و SRK و PR برای پروپان



۳-ب - درصد خطای ضریب ژول تامسون - به ازای معادله‌های ارائه شده Rk و SRK و PR برای پروپان

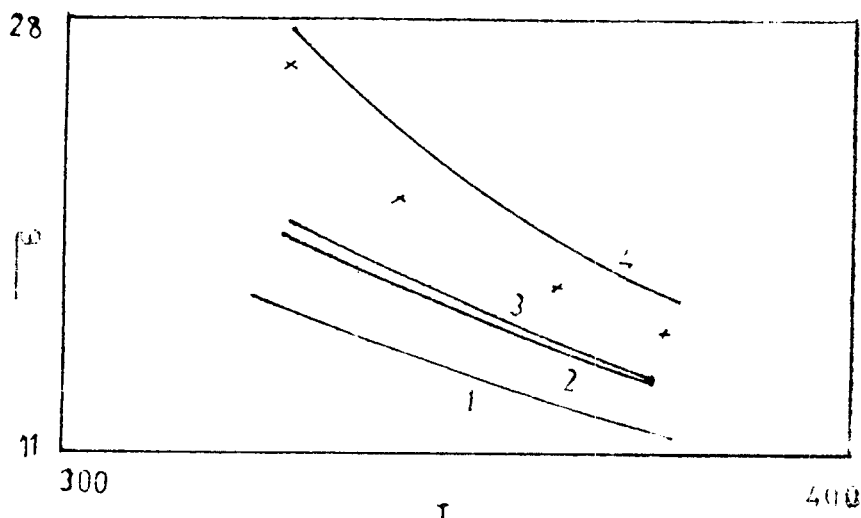
1 : PK E.O.S.O  $T = 360.93\text{ K}$

2 : SRK

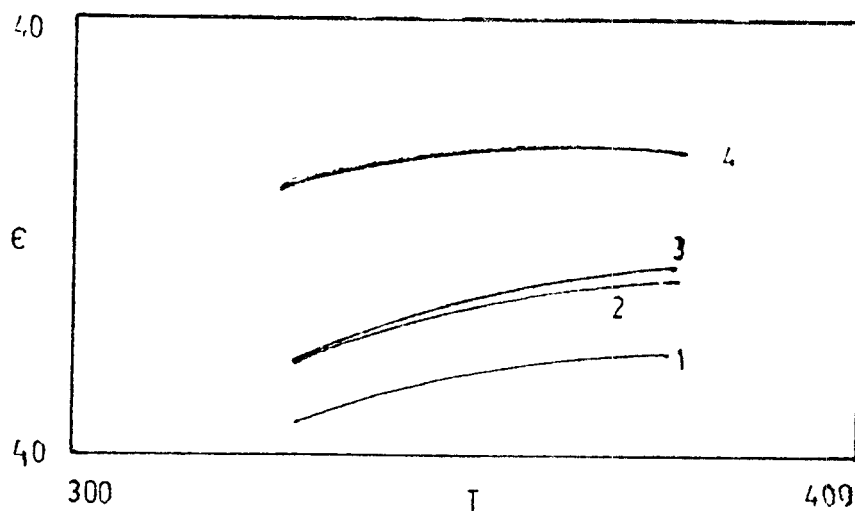
3 : PR

4 : NEW

+: EXP



۴ - الف - ضریب ژول تامسون به ازای معادله های حالت ارائه شده RK و SRK و PR برای پتان



۴ - ب - درصد خطای ضریب ژول تامسون به ازای معادله های حالت ارائه شده RK و SRK و PR برای پتان

1: PK E.O.S.O  $P = 0.138$  MPa

2: SRK

3: PR

4: NEW

+: EXP

MATERIAL	RK-ERRCR%	SRK-ERROR%	PR-ERROR%	Eqn (5) ERROR%	N <sub>tot</sub>
METHANE	2.903	3.213	12.180	5.739	12
ETHANE	3.438	2.107	6.108	2.407	22
PROPANE	14.340	1.961	7.043	5.951	23
N-BUTANE	20.779	12.135	11.606	11.109	15
N-PENTANE	31.056	19.117	18.239	7.245	10
AVERAGE-ERROR	14.505	8.919	11.035	6.490	33

۲ - جدول ۲ - مقادیر متوسط خطای ضریب ژول - تامسون مواد مختلف به دست آمده از معادله های حالت PR , SRK , PR ارائه شده

N<sub>tot</sub> = Number of total points

## فهرست منابع:

- 1 - Abbot , M. A.I.ch.E.J. 19, (1973)
- 2 - Barker , J.A. and Henderson , D.J. Chem. Phys 47, 2856, 1967
- 3 - Beret , S. Prausnitz , J.M. A.I.ch.E.J. 21 , (1975)
- 4 - Camahan, N.F. and starling , K.E. J. chem phys , 51, 1972
- 5 - De santis , R.F. Gironi and L. Marrelli, Ind . Eng . Chem Fundamen /15/183 - 189 /1976
- 6 - Donohue , M.D. and Prausnitz , J.M. A.I.ch.E.J. 24, (1978)
- 7 - Guggenheim ,E.A. Mol phys 9,43, 199, 1965
- 8 - Ishiwaka , T,et al , chem. Eng .Sci, 31 .(1976)
- 9 - Mc Glashan , M.L. and potter D.J. Roy Soc (London) ,A 267 , 478 (1962)
- 10 - Nagata,I; and S. Yasuda , J. Chem. Eng - Japan 10 / 1977
- 11 - Nakamural , Ind . Eng. chem. Process Des. Dev. 15, 1976
- 12 - Pitzer, K.S., and Curle, R.F.J.A.C.S. , 79, 2369 , (1976)
- 13 - peng ,D.Y. and Rubinson D.B. Ind chem. Eng. Fund. 15,1, (1976)
- 14 - Percus , J.K.and Yevick G.J. chem. Rev . 110, (1958)
- 15 - Perry , H.R. and Green D.W. " Perry's chemical Engineer's Handbook" 5th ed. Mc Graw - Hill, (1984)
- 16 - Prausnitz ,J.M. Molecular thermodynamics of fluid phase Equilibria, prentice Hall ,(1986)
- 17 - Redlich , O.J. and Kwong, N.S. chem. Rev 44 , 1949
- 18 - Soave - Redlich - Kwong, chem. Eng. science 27, 1972
- 19 - Soave , G. chem Eng Sci 39, (1984)
- 20 - Tsionopoulos ,C. A.I. Ch.E.J. 20 (1974)
- 21 - Walas , S, " Phase Equilibria in chemical Engineering" Boston, Butterworth (1985)
- 22 - Zwanzig R.W. J. chem. Phys. 22 . 1420 . 1954.

